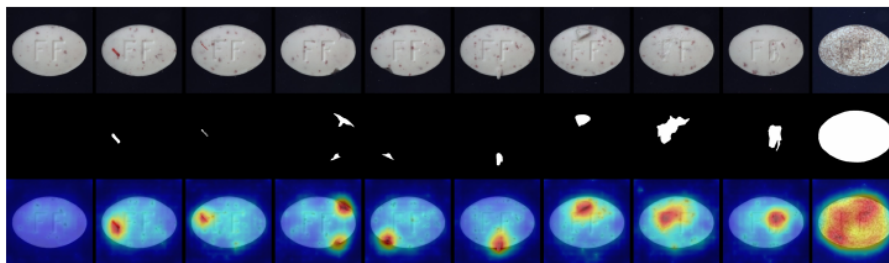
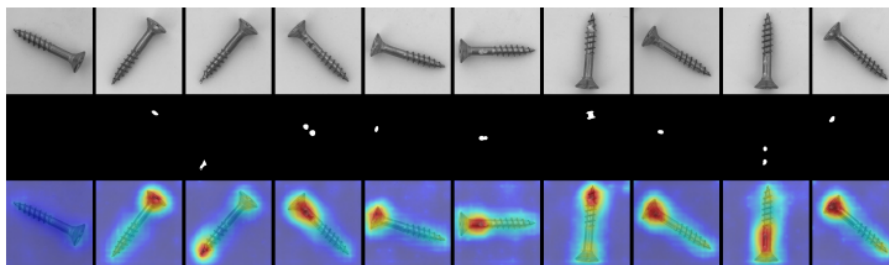


図A10: MVTec-ADにおける金属ナットの異常検出結果。上から下へ: サンプル、真値、およびADTRの異常スコアマップ。最初の列は正常なサンプルです。



図A11: MVTec-ADにおける錠剤の異常検出結果。上から下へ: サンプル、真値、およびADTRの異常スコアマップ。最初の列は正常サンプルです。



図A12: MVTec-ADにおけるネジの異常検出結果。上から下へ: サンプル、真値、およびADTRの異常スコアマップ。最初の列は正常なサンプルです。

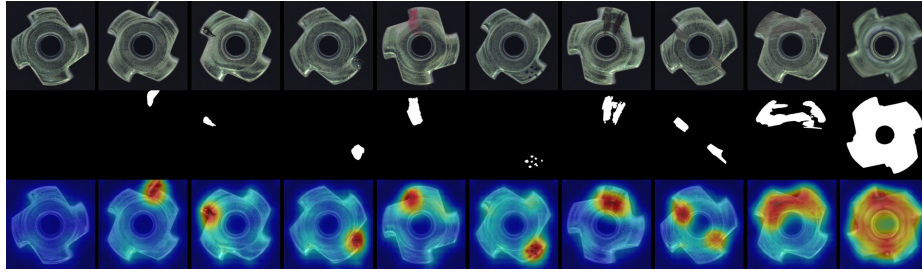


Fig. A10: Anomaly detection results of metal nut on MVTec-AD. From top to down: samples, ground-truth, and the anomaly score maps of ADTR. The first column is the normal sample.

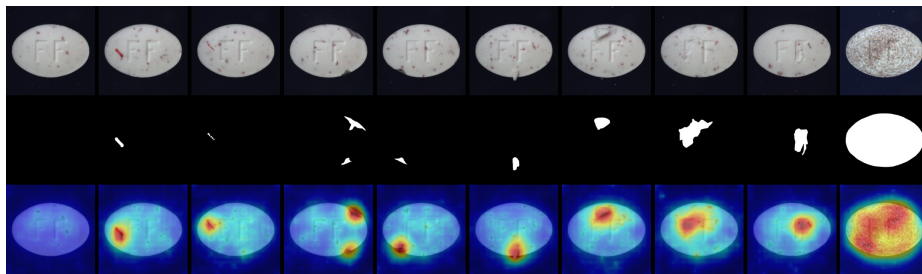


Fig. A11: Anomaly detection results of pill on MVTec-AD. From top to down: samples, ground-truth, and the anomaly score maps of ADTR. The first column is the normal sample.

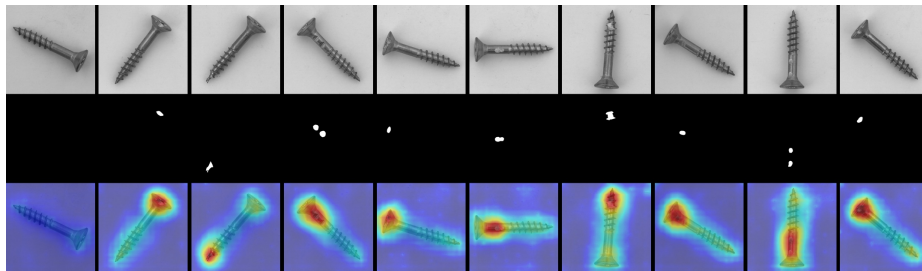


Fig. A12: Anomaly detection results of screw on MVTec-AD. From top to down: samples, ground-truth, and the anomaly score maps of ADTR. The first column is the normal sample.